

$$\mathbf{K} = \begin{bmatrix} k_{s1} + k_{s2} & -k_{s2} & \dots & 0 & -H_1 k_{s1} & H_1 k_{s2} & \dots & 0 \\ -k_{s2} & \dots & k_{s_{N-1}} + k_{sN} & -k_{sN} & 0 & \dots & 0 & H_1 k_{sN} \\ 0 & \dots & -k_{sN} & k_{sN} & 0 & \dots & 0 & -H_1 k_{sN} \\ -H_1 k_{s1} & 0 & \dots & 0 & H_1^2 k_{s1} + k_{s1} + k_{s2} & -k_{s2} & \dots & 0 \\ H_1 k_{s2} & -H_1 k_{s2} & \dots & 0 & -k_{s2} & \dots & H_{N-1}^2 k_{s_{N-1}} + k_{s_{N-1}} + k_{sN} & -k_{sN} \\ 0 & \dots & H_1 k_{sN} & -H_1 k_{sN} & 0 & \dots & -k_{sN} & H_1^2 k_{sN} + k_{sN} \end{bmatrix} \quad (5)$$

$$\mathbf{r} = \{1, \dots, 1 \mid 0, \dots, 0\}^T \quad (6)$$

$$\mathbf{U}(\omega) = \{Y_1, \dots, Y_N \mid \Theta_1, \dots, \Theta_N\}^T \quad (7)$$

2.2 1層曲げせん断型モデルにおける同定式

(1)式で $N=1$ とした場合の1層モデルを考える。伝達関数の水平成分、回転成分をそれぞれ $\omega=0$ 周りでテイラー展開すると次式を得る。

$$\frac{V_1}{\dot{U}_g} = -\frac{m_1}{k_{s1}} + \frac{m_1 c_{s1}}{k_{s1}^2} i\omega + \left(\frac{m_1 J_1}{k_{s1} k_{b1}} + \frac{m_1 c_{s1}}{k_{s1}^2} \cdot \frac{c_{s1} k_{b1} + k_{s1} c_{b1}}{k_{s1} k_{b1}} \right) \omega^2 + \dots \quad (8)$$

$$\frac{\Phi_1}{\dot{U}_g} = -\frac{m_1 H_1}{k_{b1}} + \frac{m_1 H_1 c_{b1}}{k_{b1}^2} i\omega + \left(\frac{m_1 H_1 c_{s1}}{k_{b1}^2} \cdot \frac{c_{s1} k_{b1} + k_{s1} c_{b1}}{k_{s1} k_{b1}} \right) \omega^2 + \dots \quad (9)$$

(8)、(9)式の実部および虚部の導関数の振動数ゼロ極限をとることで、同定式(10)～(13)を得る。

$$\lim_{\omega \rightarrow 0} \frac{V_1}{\dot{U}_g} \left(= \lim_{\omega \rightarrow 0} \operatorname{Re} \left\{ \frac{V_1}{\dot{U}_g} \right\} \right) = -\frac{m_1}{k_{s1}} \quad (10)$$

$$\lim_{\omega \rightarrow 0} \frac{\Phi_1}{\dot{U}_g} \left(= \lim_{\omega \rightarrow 0} \operatorname{Re} \left\{ \frac{\Phi_1}{\dot{U}_g} \right\} \right) = -\frac{m_1 H_1}{k_{b1}} \quad (11)$$

$$\lim_{\omega \rightarrow 0} \frac{d}{d\omega} \left\{ \operatorname{Im} \left(\frac{V_1}{\dot{U}_g} \right) \right\} = \frac{m_1 c_{s1}}{k_{s1}^2} \quad (12)$$

$$\lim_{\omega \rightarrow 0} \frac{d}{d\omega} \left\{ \operatorname{Im} \left(\frac{\Phi_1}{\dot{U}_g} \right) \right\} = \frac{m_1 H_1 c_{b1}}{k_{b1}^2} \quad (13)$$

2.3 多層曲げせん断型モデルにおける推測同定式

前節の1層モデルの同定式導出と同様に、2層モデルの同定式を導出した結果から、 N 層モデルの同定式を次式のように推測する。この推測の妥当性については、3.1節において振動数領域のシミュレーションを行い、その振動数ゼロ極限の結果により検証する。

$$\lim_{\omega \rightarrow 0} \operatorname{Re} \left\{ \frac{V_j}{\dot{U}_g} \right\} = -\frac{\sum_{i=j}^N m_i}{k_{sj}} \quad (14)$$

$$\lim_{\omega \rightarrow 0} \operatorname{Re} \left\{ \frac{\Phi_j}{\dot{U}_g} \right\} = -\frac{\sum_{l=j}^N \left(\sum_{i=l}^N m_i \right) H_l}{k_{bj}} \quad (15)$$

$$\lim_{\omega \rightarrow 0} \frac{d}{d\omega} \left\{ \operatorname{Im} \left(\frac{V_j}{\dot{U}_g} \right) \right\} = \frac{c_{sj} \sum_{i=j}^N m_i}{k_{sj}^2} \quad (16)$$

$$\lim_{\omega \rightarrow 0} \frac{d}{d\omega} \left\{ \operatorname{Im} \left(\frac{\Phi_j}{\dot{U}_g} \right) \right\} = \frac{c_{bj} \sum_{l=j}^N \left(\sum_{i=l}^N m_i \right) H_l}{k_{bj}^2} \quad (17)$$

2.4 ARXパラメータを用いた物理パラメータの表現

前節で提案した同定式は伝達関数の極限值を用いるため、実際の観測データから同定を行う際に低振動数域でのばらつきが問題となる。本節では、この困難点を克服する為にARXモデルを利用する。また、伝達関数をテイラー展開し、建物の物理パラメータをARXパラメータによって表現することを考える。

地動加速度 $\ddot{u}_g(t)$ と各層の $v_j(t), \phi_j(t)$ が観測されれば、ARXパラメータ $a_k, b_k (k=1, \dots, n)$ を用いて伝達関数は次式のように表現される。ただし、 T_0 はサンプリング周期である。

$$G(\omega) = \frac{b_1 e^{-i\omega T_0} + \dots + b_n e^{-ni\omega T_0}}{1 + a_1 e^{-i\omega T_0} + \dots + a_n e^{-ni\omega T_0}} = \frac{\sum_{k=1}^n b_k e^{-ki\omega T_0}}{1 + \sum_{k=1}^n a_k e^{-ki\omega T_0}} \quad (18)$$

次に、(18)式で表現された伝達関数の $\omega=0$ 周りのテイラー展開を考える。

$$G(\omega) = A_0 + A_1 \omega + A_2 \omega^2 + \dots \quad (19)$$

$$A_0 = \frac{\sum_{k=1}^n b_k}{1 + \sum_{k=1}^n a_k} \quad (20)$$

$$A_1 = \frac{-iT_0 \left\{ \left(\sum_{k=1}^n b_k \right) \left(n + \sum_{k=1}^{n-1} (n-k)a_k \right) - \left(\sum_{k=1}^{n-1} (n-k)b_k \right) \left(1 + \sum_{k=1}^n a_k \right) \right\}}{\left(1 + \sum_{k=1}^n a_k \right)^2} \quad (21)$$

これらは水平・回転成分ごとにそれぞれ決まるので、水平・回転成分の伝達関数 $G(\omega)^H, G(\omega)^R$ として、別々に表現する。

(19)～(21)式により、ARXパラメータで表現された新たなパラメータ A_0, A_1, \dots を水平・回転成分ごとに用いることにより、(14)～(17)式へ代入して各物理パラメータは次式のように表される。

$$k_{sj} = -\frac{\sum_{i=j}^N m_i}{\lim_{\omega \rightarrow 0} \operatorname{Re} \{ G(\omega)^H \}} = -\frac{\sum_{i=j}^N m_i}{A_0^H} \quad (22)$$

$$k_{bj} = -\frac{\sum_{l=j}^N \left(\sum_{i=l}^N m_i \right) H_l}{\lim_{\omega \rightarrow 0} \operatorname{Re} \{ G(\omega)^R \}} = -\frac{\sum_{l=j}^N \left(\sum_{i=l}^N m_i \right) H_l}{A_0^R} \quad (23)$$

$$c_{sj} = \frac{\lim_{\omega \rightarrow 0} \frac{d}{d\omega} \left[\operatorname{Im} \{ G(\omega)^H \} \right] k_{sj}^2}{\sum_{i=j}^N m_i} = \frac{\sum_{i=j}^N m_i}{\left(A_0^H \right)^2} A_1^H \quad (24)$$

$$c_{bj} = \frac{\lim_{\omega \rightarrow 0} \frac{d}{d\omega} \left[\operatorname{Im} \{ G(\omega)^R \} \right] k_{bj}^2}{\sum_{l=j}^N \left(\sum_{i=l}^N m_i \right) H_l} = \frac{\sum_{l=j}^N \left(\sum_{i=l}^N m_i \right) H_l}{\left(A_0^R \right)^2} A_1^R \quad (25)$$

3. 数値シミュレーションによる検証

3.1 振動数領域のシミュレーションを用いた検証

2.3 節において推測した多層モデルに対する同定式 (14)～(17) の妥当性を検証する。ここでは表 1 に示すような諸量をもつ 4 層モデルを用いて振動数領域のシミュレーションを行う。せん断剛性は 1 次固有周期 0.4 秒で逆三角 1 次モードになるせん断モデルの剛性を用い、1 次の減衰定数は 1.37% (剛性比例) に設定した。また、回転剛性は現実的なものとして設定した。

表 1 4 層モデル諸量

層	1	2	3	4
$m[\text{kg}] (\times 10^4)$	1.28	1.28	1.28	1.28
$J[\text{kgm}^2] (\times 10^4)$	3.41	3.41	3.41	3.41
$k_s[\text{N/m}] (\times 10^7)$	3.16	2.84	2.21	1.26
$k_b[\text{Nm/rad}] (\times 10^9)$	2.38	2.14	1.67	0.95
$c_s[\text{Ns/m}] (\times 10^4)$	8.04	7.24	5.63	3.22
$c_b[\text{Nms/rad}] (\times 10^6)$	6.06	5.46	4.24	2.42
$H[\text{m}]$	4.00	4.00	4.00	4.00

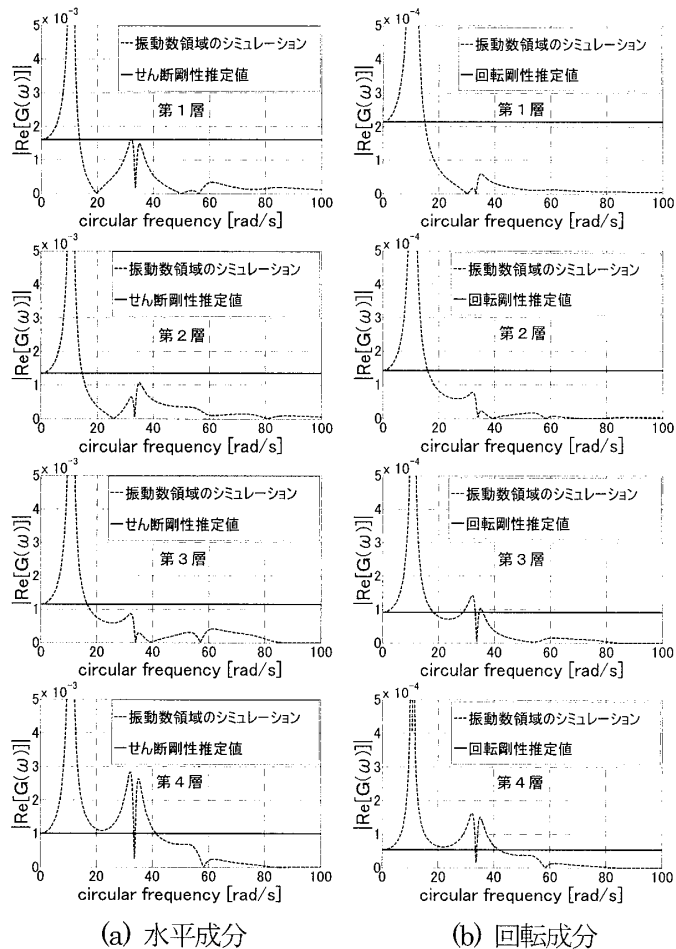


図 2 伝達関数実部の絶対値と剛性推定値

図 2 では振動数ゼロ付近でシミュレーションのグラフと推定値が一致しており、図 3 では振動数ゼロ付近

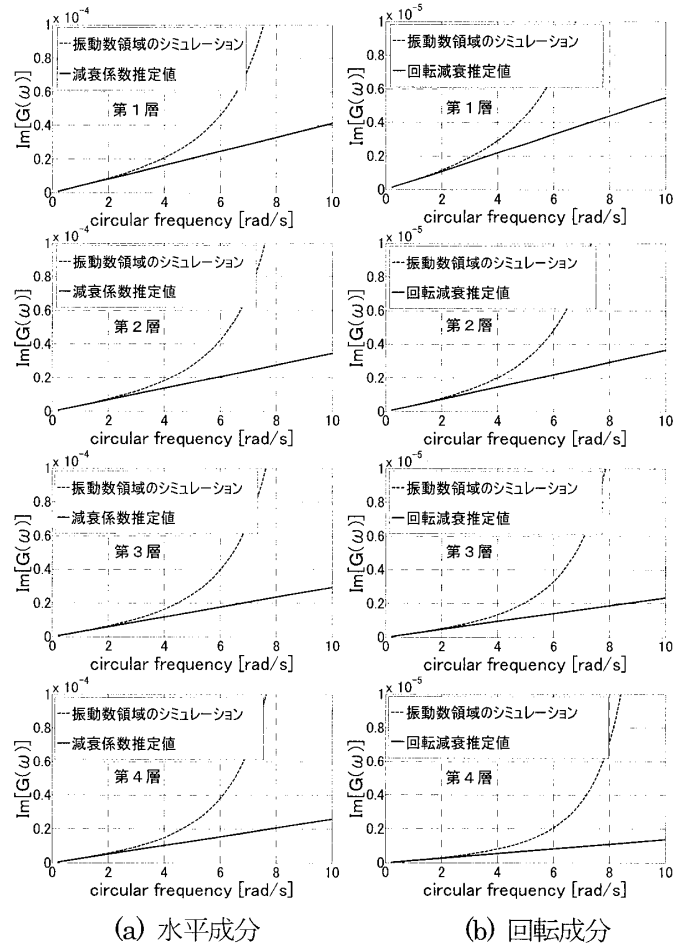


図 3 伝達関数虚部と減衰推定値

でシミュレーションのグラフの傾きと推定値の傾きが一致していることが分かる。つまり、推定値は妥当な値であると考えられる。

更に、モデル諸量を種々変化させて検証した結果、いずれの場合も今回と同様、妥当な結果を得た。

3.2 時刻歴応答データを用いた検証 (剛性)

次に、前節と同様の 4 層モデルに対し、図 4 のようなランダム波を入力した際の時刻歴解析を行い、得られた時刻歴データを用いたシミュレーションを行う。

また、この時刻歴データに対し ARX モデルを用いることで伝達関数の平滑化を試みたシミュレーション結果も併せて示す。(ARX モデル次数は 200)

図 5 より、剛性については時刻歴データによる検証でも良好な精度を保っている。また、低振動数域の乱れの問題に対し、ARX モデルを用いることは有効な手段であると考えられる。一方、減衰については、1 次固有振動数周辺における half-power 法により、1 次減衰定数が約 1.4% (設定値 1.37%) となることを明らかにした。

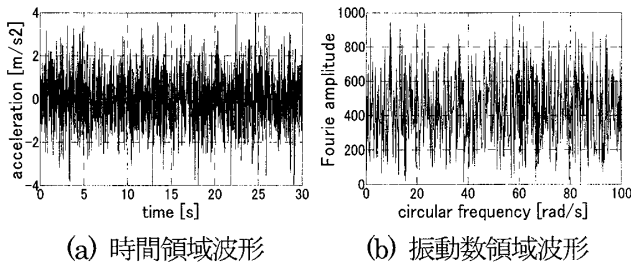


図4 入力波

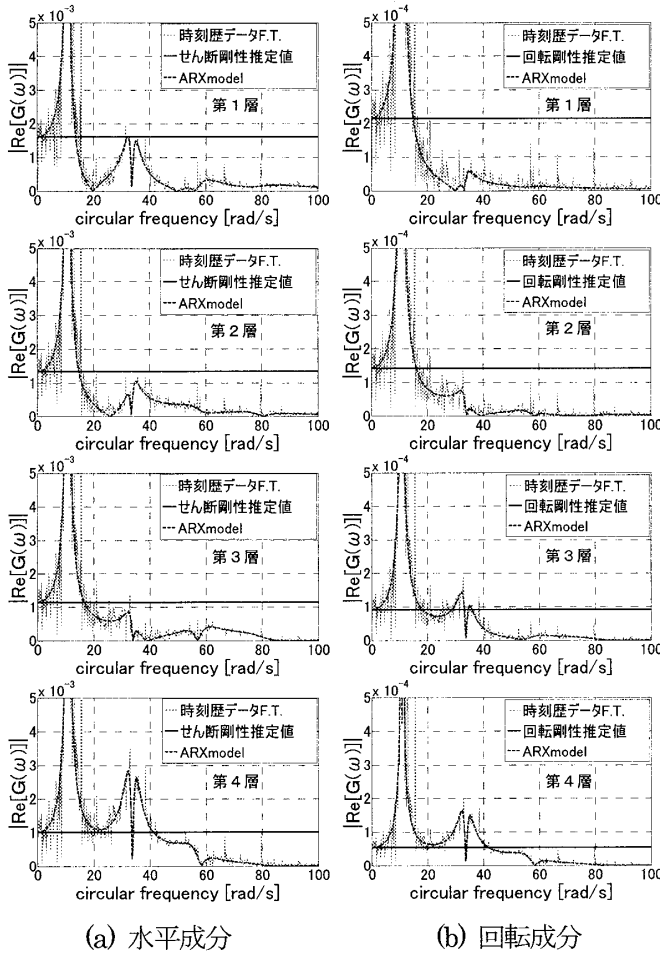


図5 伝達関数実部の絶対値

4. 水平加速度を用いた同定

せん断型モデルに対して参考文献1)で導入された同定関数に、本論文で導出した式を用いることにより、曲げせん断型モデルに対して水平加速度応答を含む次のような式(26)を得る。

$$f_j(\omega) = \frac{-\omega^2 \sum_{i=j}^N m_i}{\dot{U}_g + \ddot{Y}_{j-1} - 1} \quad (26)$$

*1 京都大学大学院 大学院生
 *2 京都大学大学院 工学研究科建築学専攻
 *3 竹中工務店 技術研究所

式(26)の振動数 $\omega = 0$ の極限值を各層毎に求め、せん断剛性と回転剛性の比率を用いることにより、剛性を第1層から順次同定することが可能である。

5. 結論

- (1) 構造物の曲げを各層に付加した回転ばねにより評価し、せん断ばねと回転ばねを直列させる曲げせん断型モデルの定式化を行った。
- (2) 1層曲げせん断型モデルにおいて、地動加速度に対する各層のせん断変形および層間相対床回転角の伝達関数の $\omega = 0$ 周りにおけるテイラー展開から、ゼロ振動数における極限值と、各物理パラメーターの関係式を導出した。
- (3) 1層曲げせん断型モデルの同定式から多層曲げせん断型モデルにおける同定式を推測した。
- (4) 伝達関数の $\omega = 0$ 周りにおけるテイラー展開の各係数とARXパラメーターの関係と、各物理パラメーターの同定式の関係から、剛性・減衰の物理パラメーターが、ARXパラメーターにより表現できることを明らかにした。
- (5) 推測した多層曲げせん断型モデルの同定式の妥当性を、振動数領域のシミュレーションにより検証した。
- (6) 振動数ゼロ付近でのばらつきが大きい時刻歴データの場合には、ARXモデルを適用して伝達関数を平滑化することが効果的であることを明らかにした。
- (7) せん断型モデルと同様の同定関数に本論文の式を用いることにより、水平加速度応答を利用した同定が可能であることを示した。

参考文献

- 1) 中村充, 竹脇出, 安井譲, 上谷宏二, 限定された地震観測記録を用いた建築物の剛性と減衰の同時同定, 構造系論文集, 28, 75-82, 2000. 2.
- 2) 前田朋宏, 限定された観測データを用いたARXモデルによる建物の剛性・減衰同定法, 京都大学修士論文, 2011. 2.
- 3) F.E.Udwadia, D.K.Sharma, P.C.Shah, Uniqueness of damping and stiffness distributions in the identification of soil and structural systems, *J. Appl. Mech.*, **45**, 181-187, 1978.3.

Graduate Student, Kyoto Univ.
 Graduate School of Eng., Kyoto Univ.
 R&D Institute, Takenaka Corp.